

Danish scientific journal

DSJ



№28/2019

ISSN 3375-2389

Vol.2

The journal publishes materials on the most significant issues of our time. Articles sent for publication can be written in any language, as independent experts in different scientific and linguistic areas are involved.

The international scientific journal “Danish Scientific Journal” is focused on the international audience. Authors living in different countries have an opportunity to exchange knowledge and experience.

The main objective of the journal is the connection between science and society. Scientists in different areas of activity have an opportunity to publish their materials. Publishing a scientific article in the journal is your chance to contribute invaluable to the development of science.

Editor in chief – Lene Larsen, Københavns Universitet

Secretary – Sofie Atting

- Charlotte Caspersen – Syddansk Erhvervsakademi, Denmark
- Rasmus Jørgensen – University of Southern Denmark, Denmark
- Claus Jensen – Københavns Universitet, Denmark
- Benjamin Hove – Uddannelsescenter Holstebro, Denmark
- William Witten – Iowa State University, USA
- Samuel Taylor – Florida State University, USA
- Anie Ludwig – Universität Mannheim, Germany
- Javier Neziraj – Universidade da Coruña, Spain
- Andreas Bøhler – Harstad University College, Norway
- Line Haslum – Sodertorns University College, Sweden
- Daehoy Park – Chung Ang University, South Korea
- Mohit Gupta – University of Calcutta, India
- Vojtech Hanus – Polytechnic College in Jihlava, Czech Republic
- Agnieszka Wyszynska – Szczecin University, Poland

Also in the work of the editorial board are involved independent experts

1000 copies

Danish Scientific Journal (DSJ)

Istedgade 104 1650 København V Denmark

email: publishing@danish-journal.com

site: <http://www.danish-journal.com>

economy: theory and practice. – 2018. – № 1. – Pg. 18-37.

2. Gorelova G. V., Liphirenko A. V., Panchenko M. A. The application of cognitive modeling to the study of industrial development // Systems analysis in design and management. – 2019. – № 3. – Pg. 533-540.

3. Kudryashov V. S. International economic integration: theoretical aspects and world practice // Scientific notes of the Tambov department of the Russian

Union of Young Scientists. – 2019. – № 14. – Pg. 78-89.

4. Muminova E. A., Sharafutdinova N. F. On issues of countries joining the International Economic Forum // Problems of the modern science and education. – 2019. – № 5. – Pg. 35-39.

5. Smirnov E. N. International economic partnership for eliminating the digital inequality // Trading policy. – 2019. – № 2. – Pg. 72-80.

CALCULATION X1EU AND PLOTTING 3D-FIGURES FOR VEU

Pil E.

Academician of the RANH, professor, d.t.s., Saint-Petersburg, Russia

РАСЧЕТ ЗНАЧЕНИЙ X1EU И ПОСТРОЕНИЕ 3D-ГРАФИКОВ ДЛЯ VEU

Пиль Э.А.

Академик РАЕ, профессор, д.т.н., Санкт-Петербург, Россия

Abstract

The present article deals with the calculation of a parameter V_{eu} and variable $X1_{eu}$ for plotting 3D-s. The meanings of parameter V_{eu} allow us to understand how the following variables $X1, X2, X3, X4, X5, X6$ influence on V_{eu} .

Аннотация

Рассмотрен вопрос расчета параметра V_{eu} , который можно представить в виде значения ВВП (GDP). Полученные расчеты изображены в виде 3D-графиков. При этом переменные могут быть как постоянными, уменьшаться, так и увеличиваться. Таким образом, в статье рассмотрена зависимость изменения V_{eu} от шести переменных, т.е. $V_{eu} = f(X1, X2, X3, X4, X5, X6)$.

Keywords: 3D-figures, calculation $X1$, parameter V_{eu} , Excel.

Ключевые слова: 3D-графики, расчетная переменная $X1$, параметр V_{eu} , Excel.

Ранее автор провел расчеты по объему экономической оболочки V_{eu} (GDP), которые были описаны ранее в статьях. В представленной ниже статье показано, как влияют значения переменных $X1, X2, X3, X4, X5, X6$, а также параметра S_{su} (GDP) на расчеты переменной $X1_{eu}$ и построение 3D-графиков. При этом значения переменных могут быть постоянными, увеличиваются или уменьшаются в 10 раз. То есть рассматриваются изменения $V_{eu} = f(X1, X2, X3, X4, X5, X6)$.

3D-графики для V_{eu} на рис. 1 и 2 были построены при переменных $X1 = 0,9..2,4, X2 = 1, X3 = X6 = 1..0,1, X4 = 0,1..1, X5 = 1..10$ и $X1 = 0,2..0,6, X2 = 1, X3 = 1..10, X4 = X5 = 1..0,1, X6 = 0,1..1$. Здесь значения V_{eu} на рис. 1 увеличиваются в 1960,88 раз, а на рис. 2 уменьшаются в 27,05 раз.

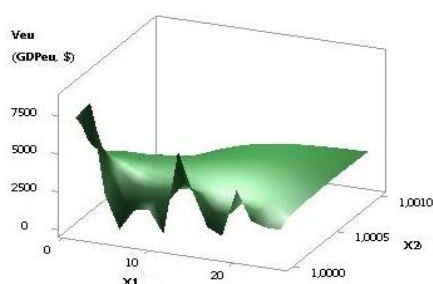


Рис. 1. $V_{eu} = f(X1, X2, X3, X4, X5, X6)$
 $X1 = 0,9..2,4, X2 = 1, X3 = X6 = 1..0,1, X4 = 0,1..1, X5 = 1..10$

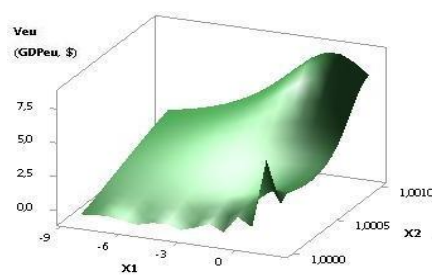


Рис. 2. $V_{eu} = f(X1, X2, X3, X4, X5, X6)$
 $X1 = 0,2..0,6, X2 = 1, X3 = 1..10, X4 = X5 = 1..0,1, X6 = 0,1..1$

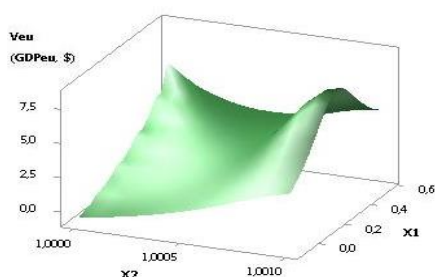


Рис. 3. $V_{eu} = f(X1, X2, X3, X4, X5, X6)$
 $X1 = 0,2..0,06, X2 = 1, X3 = X4 = X5 = 1..0,1, X6 = 0,1..1$

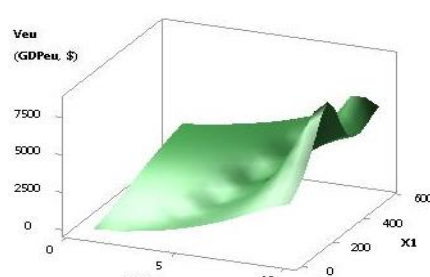


Рис. 4. $V_{eu} = f(X1, X2, X3, X4, X5, X6)$
 $X1 = 0,9..2,44, X2 = 1, X3 = X5 = 1..10, X4 = 0,1..1, X6 = 1..0,1$

Здесь на рисунках 3 и 4 3D-графики для Ve_u были построены при переменных $X_1 = 0,2..0,06$, $X_2 = 1$, $X_3 = X_4 = X_5 = 1..0,1$, $X_6 = 0,1..1$ и $X_1 = 0,9..244$, $X_2 = 1$, $X_3 = X_5 = 1..10$, $X_4 = 0,1..1$, $X_6 = 1..0,1$. Так на рис. 3 построенный 3D-график для Ve_u уменьшается в 27,05 раз, а на рис. 4 увеличивается в 1960,88 раз.

На следующих двух 3D-графиках 5 и 6 показаны две зависимости Ve_u , которые были построены при переменных $X_1 = 0,1..171$, $X_2 = 1..0,1$, $X_3 = X_5 = 1..10$, $X_4 = 1..0,1$, $X_6 = 1$ и $X_1 = 0,9..0,8$, $X_2 = 1..10$, $X_3 = X_5 = 1..0,1$, $X_4 = 0,1..1$, $X_6 = 1$ соответственно. Как видно из рис. 5 значения Ve_u увеличиваются в 1951,37 раз, а на рис. 6 значения Ve_u уменьшаются в 4,25 раза.

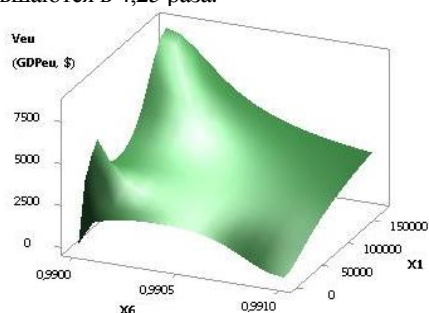


Рис. 5. $Ve_u = f(X_1, X_2, X_3, X_4, X_5, X_6)$
 $X_1 = 0,1..171, X_2 = 1..0,1, X_3 = X_5 = 1..10, X_4 = 1..0,1, X_6 = 1$

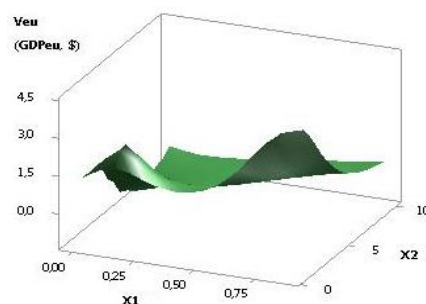


Рис. 6. $Ve_u = f(X_1, X_2, X_3, X_4, X_5, X_6)$
 $X_1 = 0,9..0,8, X_2 = 1..10, X_3 = X_5 = 1..0,1, X_4 = 0,1..1, X_6 = 1$

На двух 3D-графиках 7 и 8 представлены две зависимости Ve_u при переменных $X_1 = 0,9..243$, $X_2 = X_3 = 1..0,1$, $X_4 = 0,1..1$, $X_5 = 1..10$, $X_6 = 1$ и $X_1 = 0,1..0,05$, $X_2 = X_3 = 1..10$, $X_4 = X_5 = 1..0,1$, $X_6 = 1$ соответственно. Здесь на рисунке 7 значения Ve_u увеличиваются в 1951,37 раз, а на рис. 8 значения Ve_u уменьшаются в 4,25 раза.

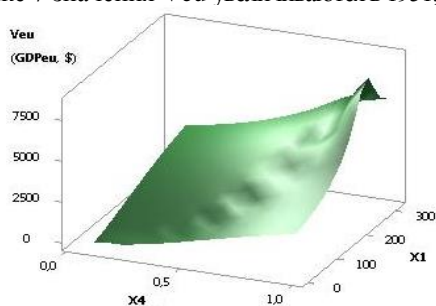


Рис. 7. $Ve_u = f(X_1, X_2, X_3, X_4, X_5, X_6)$
 $X_1 = 0,9..243, X_2 = X_3 = 1..0,1, X_4 = 0,1..1, X_5 = 1..10, X_6 = 1$

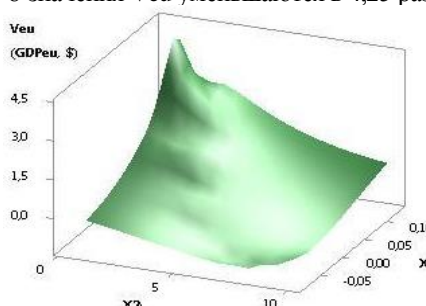


Рис. 8. $Ve_u = f(X_1, X_2, X_3, X_4, X_5, X_6)$
 $X_1 = 0,1..0,05, X_2 = X_3 = 1..10, X_4 = X_5 = 1..0,1, X_6 = 1$

На рис. 9 и 10 были построены 3D-графики для Ve_u при $X_1 = 0,9..1,16$, $X_2 = X_5 = 1..0,1$, $X_3 = 1..10$, $X_4 = 0,1..1$, $X_6 = 1$ и $X_1 = 0,1..0,17$, $X_2 = X_5 = 1..10$, $X_3 = X_4 = 1..0,1$, $X_6 = 1$. Так на рис. 9 значения Ve_u уменьшаются в 4,25 раза, а на рис. 10 значения Ve_u увеличиваются в 1951,37 раз.

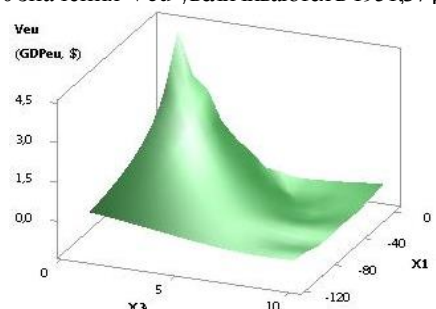


Рис. 9. $Ve_u = f(X_1, X_2, X_3, X_4, X_5, X_6)$
 $X_1 = 0,9..1,16, X_2 = X_5 = 1..0,1, X_3 = 1..10, X_4 = 0,1..1, X_6 = 1$

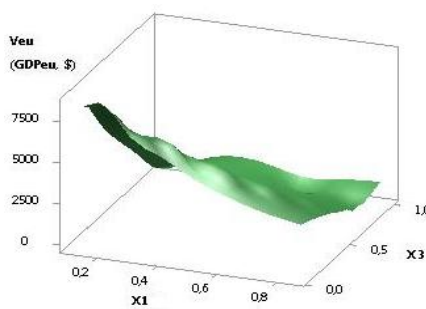


Рис. 10. $Ve_u = f(X_1, X_2, X_3, X_4, X_5, X_6)$
 $X_1 = 0,1..0,17, X_2 = X_5 = 1..10, X_3 = X_4 = 1..0,1, X_6 = 1$

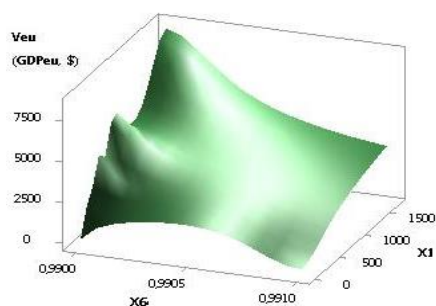


Рис. 11. $Ve_u = f(X_1, X_2, X_3, X_4, X_5, X_6)$
 $X_1 = 0,1..171, X_2 = X_3 = X_4 = 1..0,1, X_5 = 1..10, X_6 = 1$

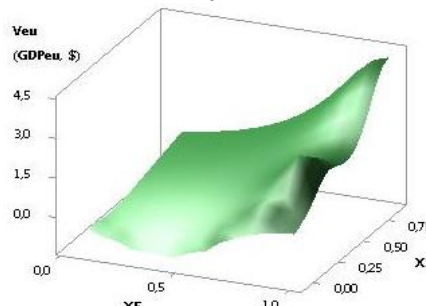


Рис. 12. $Ve_u = f(X_1, X_2, X_3, X_4, X_5, X_6)$
 $X_1 = 0,9..0,8, X_2 = X_3 = 1..10, X_4 = 0,1..1, X_5 = 1..0,1, X_6 = 1$

На двух рис. 11 и 12 были построены 3D-графики для Veu при $X1 = 0,1..171$, $X2 = X3 = X4 = 1,0,1$, $X5 = 1..10$, $X6 = 1$ и $X1 = 0,9..0,8$, $X2 = X3 = 1..10$, $X4 = 0,1..1$, $X5 = 1..0,1$, $X6 = 1$ соответственно. Здесь на рис. 11 значения Veu увеличиваются в 1951,37 раз. 3D-график же Veu , представленный на рисунке 12, уменьшается в 4,25 раза.

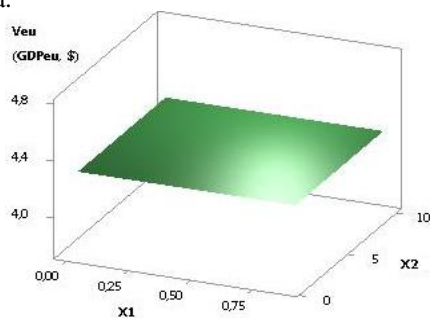


Рис. 13. $Veu = f(X1, X2, X3, X4, X5, X6)$
 $X1 = 0,9..0,01, X2 = 1..10, X3 = 1..0,1, X4 = 0,1..1, X5 = X6 = 1$

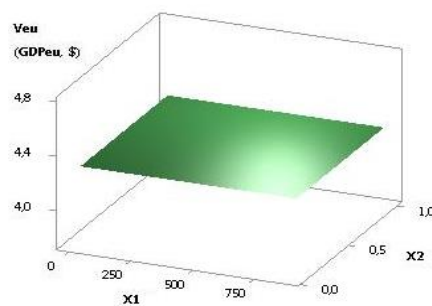


Рис. 14. $Veu = f(X1, X2, X3, X4, X5, X6)$
 $X1 = 0,1..0,878, X2 = X4 = 1..0,1, X3 = 1..10, X5 = X6 = 1$

На рисунках 13 и 14 значения Veu остаются неизменными при $X1 = 0,9..0,01$, $X2 = 1..10$, $X3 = 1..0,1$, $X4 = 0,1..1$, $X5 = X6 = 1$ и $X1 = 0,1..0,878$, $X2 = X4 = 1..0,1$, $X3 = 1..10$, $X5 = X6 = 1$.

Из рис. 15 и 16 видно, что значения Veu при переменных $X1 = 0,9..124$, $X2 = 1..0,1$, $X3 = 1..10$, $X4 = 0,1..1$, $X5 = X6 = 1$ и $X1 = 0,1..0,09$, $X2 = X3 = 1..10$, $X4 = 1..0,1$, $X5 = X6 = 1$ остаются неизменными.

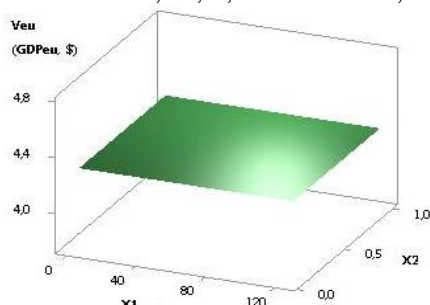


Рис. 15. $Veu = f(X1, X2, X3, X4, X5, X6)$
 $X1 = 0,9..124, X2 = 1..0,1, X3 = 1..10, X4 = 0,1..1, X5 = X6 = 1$

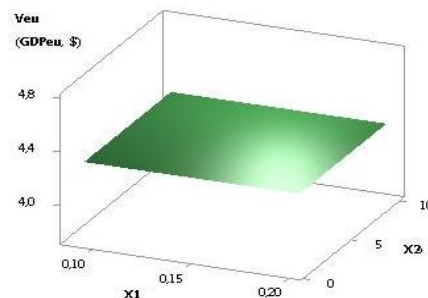


Рис. 16. $Veu = f(X1, X2, X3, X4, X5, X6)$
 $X1 = 0,1..0,09, X2 = X3 = 1..10, X4 = 1..0,1, X5 = X6 = 1$

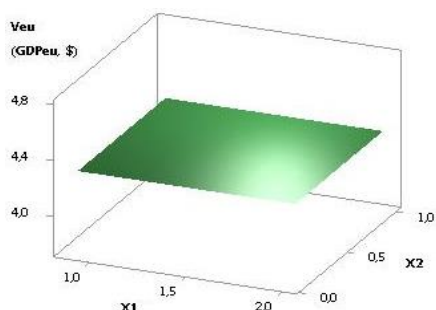


Рис. 17. $Veu = f(X1, X2, X3, X4, X5, X6)$
 $X1 = 0,9..1,2, X2 = X3 = 1..0,1, X4 = 0,1..1, X5 = X6 = 1$

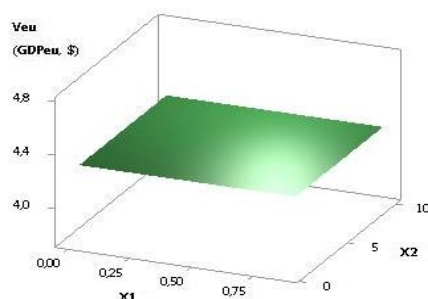


Рис. 18. $Veu = f(X1, X2, X3, X4, X5, X6)$
 $X1 = 0,9..0,001, X2 = 1..10, X3 = 1..0,1, X4 = 0,1..1, X5 = X6 = 1$

Из 3D-графиков для Veu , изображенных на рис. 17 и 18, видно, что они также остаются неизменными. Данные 3D-графики были построены при значениях $X1 = 0,9..1,2$, $X2 = X3 = 1..0,1$, $X4 = 0,1..1$, $X5 = X6 = 1$ и $X1 = 0,9..0,001$, $X2 = 1..10$, $X3 = 1..0,1$, $X4 = 0,1..1$, $X5 = X6 = 1$ соответственно.

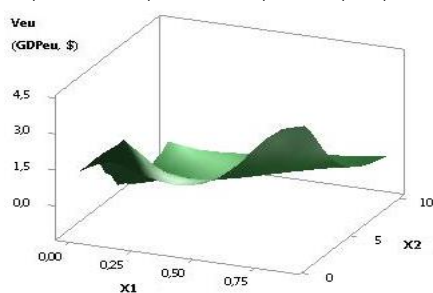


Рис. 19. $Veu = f(X1, X2, X3, X4, X5, X6)$
 $X1 = 0,9..0,8, X2 = 1..10, X3 = X5 = 1..0,1, X4 = 0,1..1, X6 = 1$

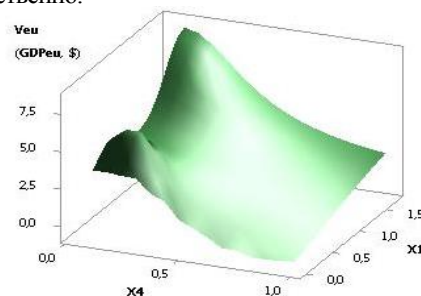


Рис. 20. $Veu = f(X1, X2, X3, X4, X5, X6)$
 $X1 = 0,9..0,8, X2 = 1..10, X3 = X5 = 1..0,1, X4 = 0,1..1, X6 = 1$

При построении 3D-графика на рис. 19 были использованы следующие переменные $X_1 = 0,9..0,8$, $X_2 = 1..10$, $X_3 = X_5 = 1..0,1$, $X_4 = 0,1..1$, $X_6 = 1$. Полученная зависимость Ve_u уменьшается в 4,25 раза. На рис. 20 показанная зависимость Ve_u при $X_1 = 0,9..0,8$, $X_2 = 1..10$, $X_3 = X_5 = 1..0,1$, $X_4 = 0,1..1$, $X_6 = 1$ Ve_u уменьшается в 27,05 раз.

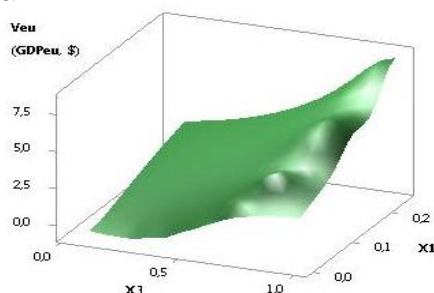


Рис. 21. $Ve_u = f(X_1, X_2, X_3, X_4, X_5, X_6)$
 $X_1 = 0,2..0,01, X_2 = 1..10, X_3 = X_4 = X_5 = 1..0,1, X_6 = 1$

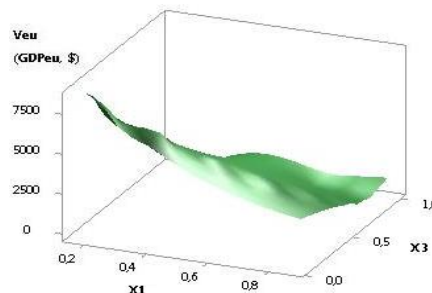


Рис. 22. $Ve_u = f(X_1, X_2, X_3, X_4, X_5, X_6)$
 $X_1 = 0,2..0,1, X_2 = X_5 = 1..10, X_3 = X_4 = 1..0,1, X_6 = 0,1..1$

3D-график Ve_u на рис. 21 при переменных $X_1 = 0,2..0,01$, $X_2 = 1..10$, $X_3 = X_4 = X_5 = 1..0,1$, $X_6 = 1$ уменьшается в 27,05 раз. На рис. 22 построенный 3D-график Ve_u увеличивается в 1000 раз при переменных $X_1 = 0,2..0,1$, $X_2 = X_5 = 1..10$, $X_3 = X_4 = 1..0,1$, $X_6 = 0,1..1$.

Представленный 3D-график Ve_u на рис. 23 уменьшается в 1000 раз, а на рис. 24 остается неизменным. При построении 3D-графиков для Ve_u на этих рисунках были использованы значения переменных: $X_1 = 0,1..8,8$, $X_2 = 1..10$, $X_5 = X_3 = X_4 = X_6 = 1..0,1$ и $X_1 = 0,1..1,2$, $X_2 = X_4 = X_5 = X_6 = 1$, $X_3 = 1..10$.

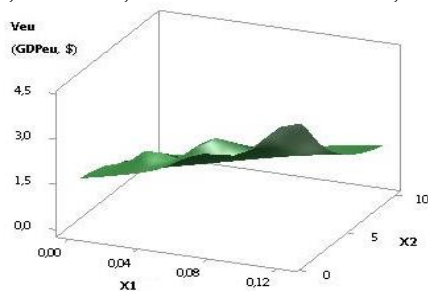


Рис. 23. $Ve_u = f(X_1, X_2, X_3, X_4, X_5, X_6)$
 $X_1 = 0,1..8,8, X_2 = 1..10, X_5 = X_3 = X_4 = X_6 = 1..0,1$

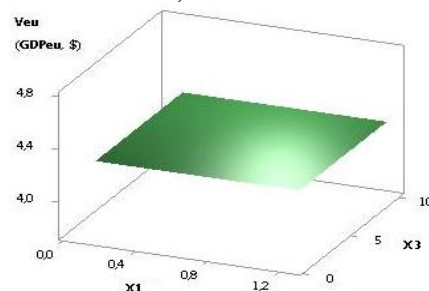


Рис. 24. $Ve_u = f(X_1, X_2, X_3, X_4, X_5, X_6)$
 $X_1 = 0,1..1,2, X_2 = X_4 = X_5 = X_6 = 1, X_3 = 1..10$

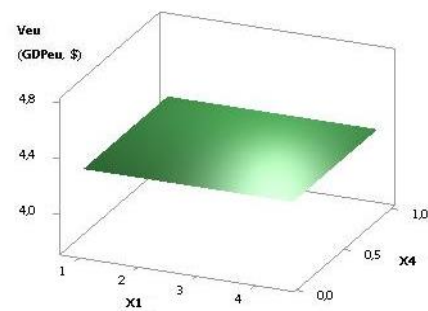


Рис. 25. $Ve_u = f(X_1, X_2, X_3, X_4, X_5, X_6)$
 $X_1 = 0,9..1,2, X_2 = X_5 = X_6 = 1, X_3 = 1..10, X_4 = 0,1..1$

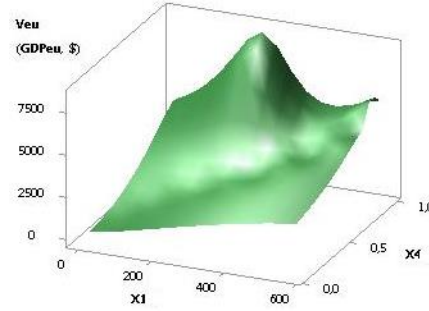


Рис. 26. $Ve_u = f(X_1, X_2, X_3, X_4, X_5, X_6)$
 $X_1 = 0,9..243, X_2 = X_6 = 1, X_3 = X_5 = 1..10, X_4 = 0,1..1$

Как видно из 3D-графика на рис. 25 значения Ve_u также остаются неизменными, а на рис. 26 3D-график Ve_u увеличивается в 1951,37 раз. Данные 3D-графики для Ve_u были построены при следующих переменных $X_1 = 0,9..1,2$, $X_2 = X_5 = X_6 = 1$, $X_3 = 1..10$, $X_4 = 0,1..1$ и $X_1 = 0,9..243$, $X_2 = X_6 = 1$, $X_3 = X_5 = 1..10$, $X_4 = 0,1..1$.

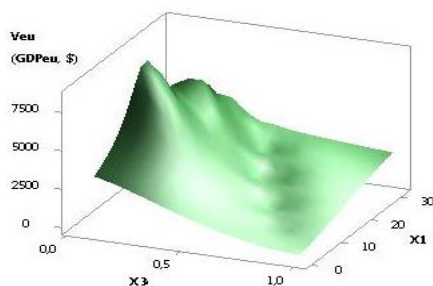


Рис. 27. $Ve_u = f(X_1, X_2, X_3, X_4, X_5, X_6)$
 $X_1 = 0,1..17,2, X_2 = X_6 = 1, X_3 = X_4 = 0,1..1, X_5 = 1..10$

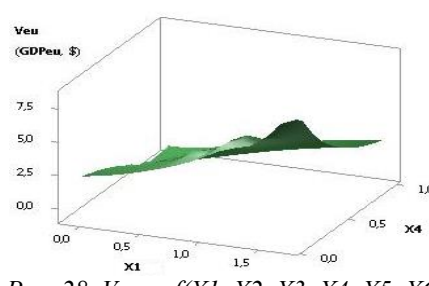


Рис. 28. $Ve_u = f(X_1, X_2, X_3, X_4, X_5, X_6)$
 $X_1 = 1,72..0,2, X_2 = 1, X_3 = X_5 = 1..0,1, X_4 = X_6 = 0,1..1$

Представленный на рис. 27 3D-график Veu был построен при $X1 = 0,1..17,2$, $X2 = X6 = 1$, $X3 = X4 = 0,1..1$, $X5 = 1..10$. Из рис. 27 видно, что значения Veu увеличиваются в 1951,37 раз. На рис. 28 показан 3D-график Veu при $X1 = 1,72..0,2$, $X2 = 1$, $X3 = X5 = 1..0,1$, $X4 = X6 = 0,1..1$, из которого видно, что значения параметра Veu уменьшаются в 27,05 раз.

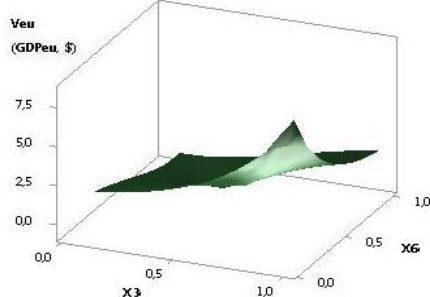


Рис. 29. $Veu = f(X1, X2, X3, X4, X5, X6)$
 $X1 = 0,24..0,2, X2 = 1, X3 = X4 = X5 = 1..0,1, X6 = 0,1..1$

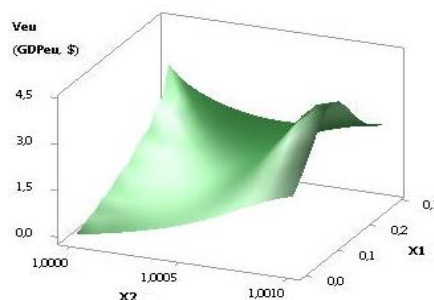


Рис. 30. $Veu = f(X1, X2, X3, X4, X5, X6)$
 $X1 = 0,1..0,001, X2 = 1, X3 = X4 = X5 = X6 = 1..0,1$

На рис. 29 и 30 построены 3D-графики Veu при $X1 = 0,24..0,2$, $X2 = 1$, $X3 = X4 = X5 = 1..0,1$, $X6 = 0,1..1$ и $X1 = 0,1..0,001$, $X2 = 1$, $X3 = X4 = X5 = X6 = 1..0,1$. Здесь на рис. 29 значения параметра Veu уменьшаются в 27,05 раз, а на рис. 30 уменьшаются уже в 1000 раз.

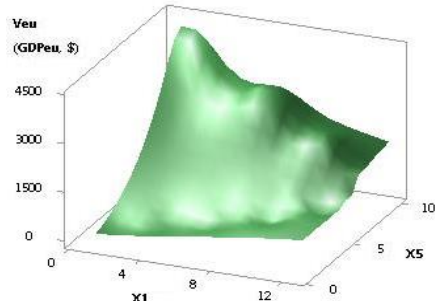


Рис. 31. $Veu = f(X1, X2, X3, X4, X5, X6)$
 $X1 = 0,9..1,2, X2 = 1, X3 = 1..0,1, X4 = 0,1..1, X5 = X6 = 1..10$

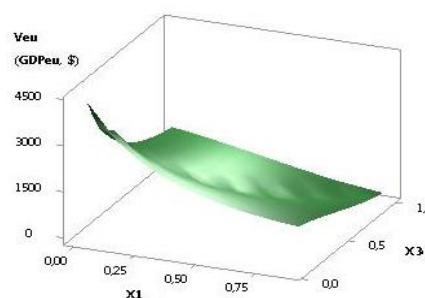


Рис. 32. $Veu = f(X1, X2, X3, X4, X5, X6)$
 $X1 = 0,9..0,01, X2 = X5 = X6 = 1..10, X3 = 1..0,1, X4 = 0,1..1$

Из представленных на рис. 31 и 32 двух 3D-графиков Veu при $X1 = 0,9..1,2$, $X2 = 1$, $X3 = 1..0,1$, $X4 = 0,1..1$, $X5 = X6 = 1..10$ и $X1 = 0,9..0,01$, $X2 = X5 = X6 = 1..10$, $X3 = 1..0,1$, $X4 = 0,1..1$ видно, что значения параметра Veu на рис. 31 и 32 увеличиваются одинаково в 982,47 раза.

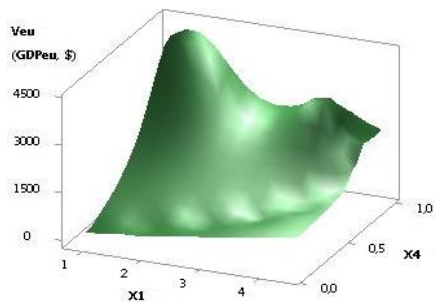


Рис. 33. $Veu = f(X1, X2, X3, X4, X5, X6)$
 $X1 = 0,9..1,2, X2 = X3 = X5 = X6 = 1..10, X4 = 0,1..1$

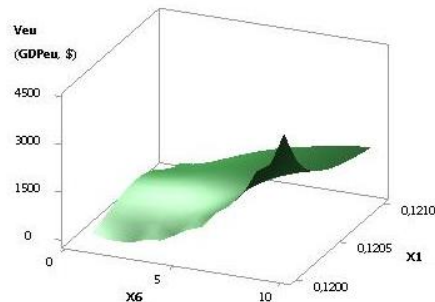


Рис. 34. $Veu = f(X1, X2, X3, X4, X5, X6)$
 $X1 = 0,12, X2 = X5 = X6 = 1..10, X3 = X4 = 1$

Из следующих двух 3D-графиков Veu на рис. 33 и 34, которые были построены при $X1 = 0,9..1,2$, $X2 = X3 = X5 = X6 = 1..10$, $X4 = 0,1..1$ и $X1 = 0,12$, $X2 = X5 = X6 = 1..10$, $X3 = X4 = 1$ видно, что параметр Veu на рис. 33 и 34 увеличивается в 1000 раз.

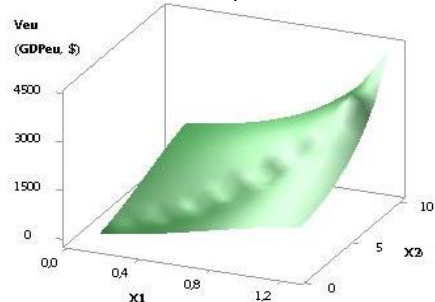


Рис. 35. $Veu = f(X1, X2, X3, X4, X5, X6)$
 $X1 = 0,12..1,2, X2 = X3 = X5 = X6 = 1..10, X4 = 1$

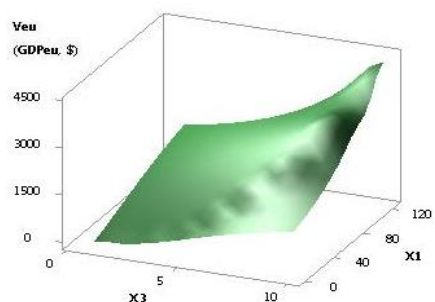


Рис. 36. $Veu = f(X1, X2, X3, X4, X5, X6)$
 $X1 = 0,12..124, X2 = X4 = 1, X3 = X5 = X6 = 1..10$

Если построить два 3D-графика Veu на рис. 35 и 36 при $X1 = 0,12..1,2$, $X2 = X3 = X5 = X6 = 1..10$, $X4 = 1$ и $X1 = 0,12..124$, $X2 = X4 = 1$, $X3 = X5 = X6 = 1..10$, то из них видно, что параметр Veu на рис. 35 и 36 также увеличивается в 1000 раз.

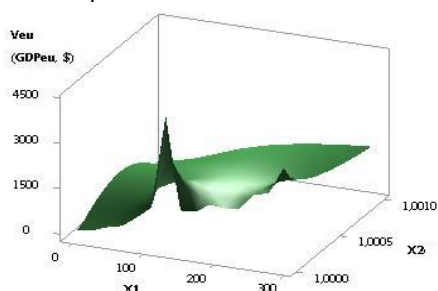


Рис. 37. $Veu = f(X1, X2, X3, X4, X5, X6)$
 $X1 = 0,9..124, X2 = 1, X3 = X5 = X6 = 1..10, X4 = 0,1..1$

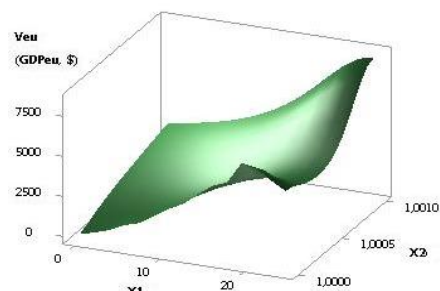


Рис. 38. $Veu = f(X1, X2, X3, X4, X5, X6)$
 $X1 = 24,3..0,1, X2 = X3 = X6 = 1, X4 = 0,1..1, X5 = 10..1$

Следующие два 3D-графика Veu на рис. 37 и 38 были построены при $X1 = 0,9..124$, $X2 = 1$, $X3 = X5 = X6 = 1..10$, $X4 = 0,1..1$ и $X1 = 24,3..0,1$, $X2 = X3 = X6 = 1$, $X4 = 0,1..1$, $X5 = 10..1$. Из этих рисунков видно, что параметр Veu на рис. 35 увеличивается в 1000 раз, а на рис. 36 уменьшается в 1951,37 раз.

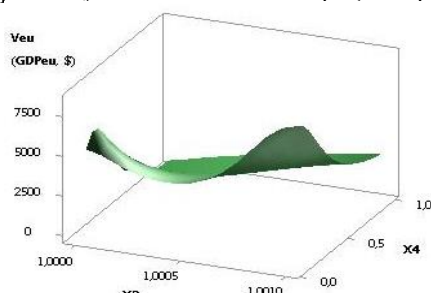


Рис. 39. $Veu = f(X1, X2, X3, X4, X5, X6)$
 $X1 = 171..0,1, X2 = X3 = X6 = 1, X4 = 0,1..1, X5 = 10..1$

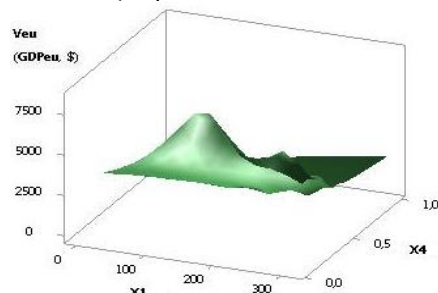


Рис. 40. $Veu = f(X1, X2, X3, X4, X5, X6)$
 $X1 = 171..1,25, X2 = X6 = 1, X3 = 1..10, X4 = 0,1..1, X5 = 10..1$

Если теперь построить два 3D-графика Veu на рис. 39 и 40 при $X1 = 171..0,1$, $X2 = X3 = X6 = 1$, $X4 = 0,1..1$, $X5 = 10..1$ и $X1 = 171..1,25$, $X2 = X6 = 1$, $X3 = 1..10$, $X4 = 0,1..1$, $X5 = 10..1$, то в этом случае параметр Veu на рис. 39 и 40 уменьшается в 1951,37 раз

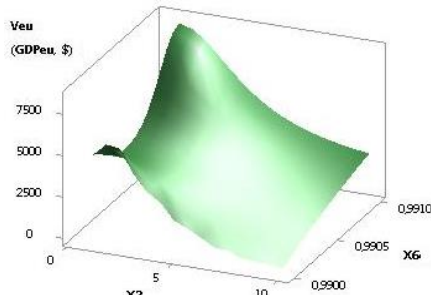


Рис. 41. $Veu = f(X1, X2, X3, X4, X5, X6)$
 $X1 = 171..0,01, X2 = 1, X3 = 1..10, X4 = 0,1..1, X5 = 10..1, X6 = 1$

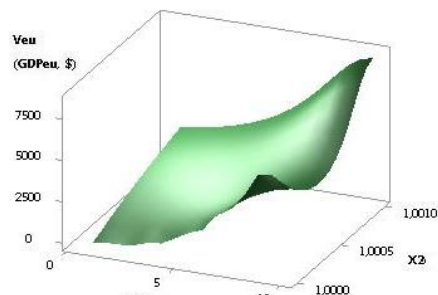


Рис. 42. $Veu = f(X1, X2, X3, X4, X5, X6)$
 $X1 = 24..0,1, X2 = X3 = X4 = 1, X5 = 10..1, X6 = 0,1..1$

Из следующих двух 3D-графиков Veu на рис. 41 и 42 при $X1 = 171..0,01$, $X2 = X3 = 1..10$, $X4 = 0,1..1$, $X5 = 10..1$, $X6 = 1$ и $X1 = 24..0,1$, $X2 = X3 = X4 = 1$, $X5 = 10..1$, $X6 = 0,1..1$ видно, что параметр Veu на рис. 41 и 42 уменьшается в 1951,37 и 1960,88 раз соответственно.

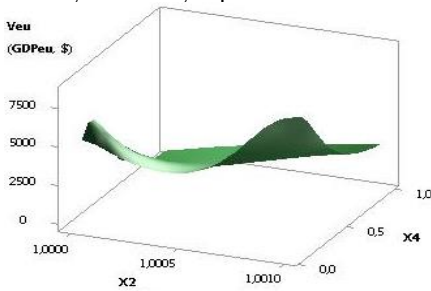


Рис. 43. $Veu = f(X1, X2, X3, X4, X5, X6)$
 $X1 = 172..0,1, X2 = X3 = 1, X4 = X6 = 0,1..1, X5 = 10..1$

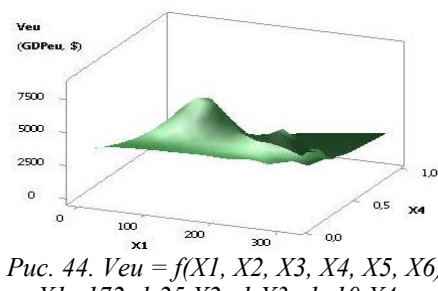


Рис. 44. $Veu = f(X1, X2, X3, X4, X5, X6)$
 $X1 = 172..1,25, X2 = 1, X3 = 1..10, X4 = X6 = 0,1..1, X5 = 10..1$

Из следующих двух 3D-графиков Ve_u на рис. 43 и 44, которые были построены при $X_1 = 172..0,1$, $X_2 = X_3 = 1$, $X_4 = X_6 = 0,1..1$, $X_5 = 10..1$ и $X_1 = 172..1,25$, $X_2 = 1$, $X_3 = 1..10$, $X_4 = X_6 = 0,1..1$, $X_5 = 10..1$ видно, что параметр Ve_u на рис. 43 и 44 уменьшается в 1960,88 раз.

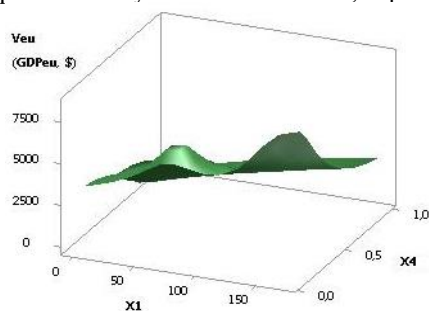


Рис. 45. $Ve_u = f(X_1, X_2, X_3, X_4, X_5, X_6)$
 $X_1 = 172..0,01, X_2 = X_3 = 1..10, X_4 =$
 $X_6 = 0,1..1, X_5 = 10..1$

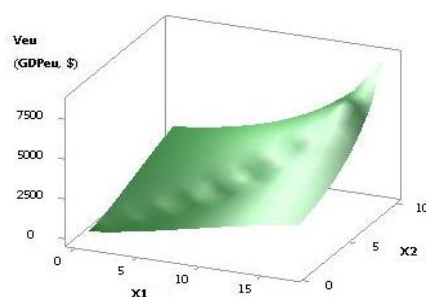


Рис. 46. $Ve_u = f(X_1, X_2, X_3, X_4, X_5, X_6)$
 $X_1 = 0,24..17, X_2 = X_3 = X_5 = 1..10, X_4 = 1..01, X_6 = 0,1..1$

На последних двух 3D-графиках Ve_u , которые изображены на рис. 45 и 46 при $X_1 = 172..0,01$, $X_2 = X_3 = 1..10$, $X_4 = X_6 = 0,1..1$, $X_5 = 10..1$ и $X_1 = 0,24..17$, $X_2 = X_3 = X_5 = 1..10$, $X_4 = 1..01$, $X_6 = 0,1..1$ видно, что параметр Ve_u на рис. 45 уменьшается в 1960,88 раз, а на рис. 46 увеличивается в 1000 раз.

CONCEPTUAL APPROACHES TO TRAINING CIVIL SERVANTS AND LOCAL GOVERNMENT OFFICIALS IN CROSS-BORDER COOPERATION

Strizhakova A.

Ph. D.

Paianova L.

Ph. D.

КОНЦЕПТУАЛЬНЫЕ ПОДХОДЫ К ПОДГОТОВКЕ ГОСУДАРСТВЕННЫХ СЛУЖАЩИХ И ДОЛЖНОСТНЫХ ЛИЦ МЕСТНОГО САМОУПРАВЛЕНИЯ В ОБЛАСТИ ТРАНСГРАНИЧНОГО СОТРУДНИЧЕСТВА

Стрижакова А.Ю.

к.гос.упр.,

Паянова Л.В.

к.гос.упр.

Abstract

The problems of training of public services and officials of local self-government bodies in the field of cross-border cooperation are analyzed and highlighted. Determinants of human development and legal aspects of civil servants' powers are defined.

Аннотация

Проанализированы и освещены проблемы подготовки государственных служб и должностных лиц местных органов самоуправления в области трансграничного сотрудничества. Определены детерминанты развития человеческого потенциала и правовые аспекты полномочий госслужащих.

Keywords: трансграничное сотрудничество, сотрудничество, органы местного самоуправления, Государственная служба, должностные лица органов местного самоуправления

Ключевые слова: cross-border cooperation, local self-government bodies, civil service, officials of local self-government bodies

Несмотря на комплекс мер по вопросам реформирования государственной службы, эффективность государственного управления в последнее время является недостаточной, снижается уровень доверия граждан к органам государственного управления и государственной службы в целом. Одной из самых весомых причин такого явления является отставание кадрового потенциала от потребностей экономического и социально-культурного развития страны.

Недостаточная эффективность и низкий авторитет государственной службы во многих случаях

обусловлены низким профессионализмом лиц, уполномоченных на выполнение государственных задач и функций.

Открытой остается проблема поиска оптимальных путей повышения профессионализма государственных служащих до уровня, который отвечал бы повышенным требованиям современности. Одним из направлений, которое требует совершенствования деятельности госслужащих, является трансграничное сотрудничество.

Значительное внимание вопросам подготовки кадров, которые работают в сфере трансграничного